14<sup>EME</sup> COLLOQUE MODÉLISATION ET SIMULATION NUMÉRIQUE DU SOUDAGE "COMMENT LES MODÈLES ET LEURS CARACTÉRISATIONS EXPÉRIMENTALES INFLUENCENT LES RÉSULTATS D'UNE SIMULATION NUMÉRIQUE"

# Modélisation des opérations de soudage et de parachèvement dans le cas de structures métalliques du Génie Civil

17 mars 2016

**Intervenant: Lamine Dieng** 

Co-authors: D. Amine,

S. Chataigner,

L. Gaillet



# Structures métalliques : Contexte

- Depuis les années 1970, les structures métalliques ont regagné un intérêt certain.
- Acier permet des structures soudées très compétitives
  - Ouvrages d'art : Bipoutres, caissons, ponts,...
  - Offshore, naval : Bateaux, Jacket EMR,...
  - Aéronautiques, automobiles : Tuyauteries, Crépine,...
- En neuve ou en réparation





# Structures métalliques : Questions/Verrous

Durabilité des structures soudées : fatigue, corrosion

- Prise en compte de l'état initial non standard.
- L'identification expérimentale de l'état de la structure (évolution des contraintes résiduelles).
- Modélisation théorique des phénomènes.
- L'optimisation des processus et le prolongement de la durée de vie.
- Application industrielle des processus.

# Structures métalliques : Objectifs/Plan

- 1. Quantification expérimentale et numérique des contraintes résiduelles induites par le soudage:
  - Choix des types d'éprouvette et la technique de soudage.
  - Mesure par DRX des contraintes résiduelles de surface.
  - Modélisation EF du soudage.
  - Évaluation des contraintes résiduelles après refroidissement.

#### 2. Parachèvement de la soudure:

- Choix de la technique de parachèvement (meulage, grenaillage).
- Mise en œuvre expérimentale de ces techniques de parachèvement.
- Modélisation numérique du parachèvement.

#### 3. Evaluation de la durabilité en terme de fatigue:

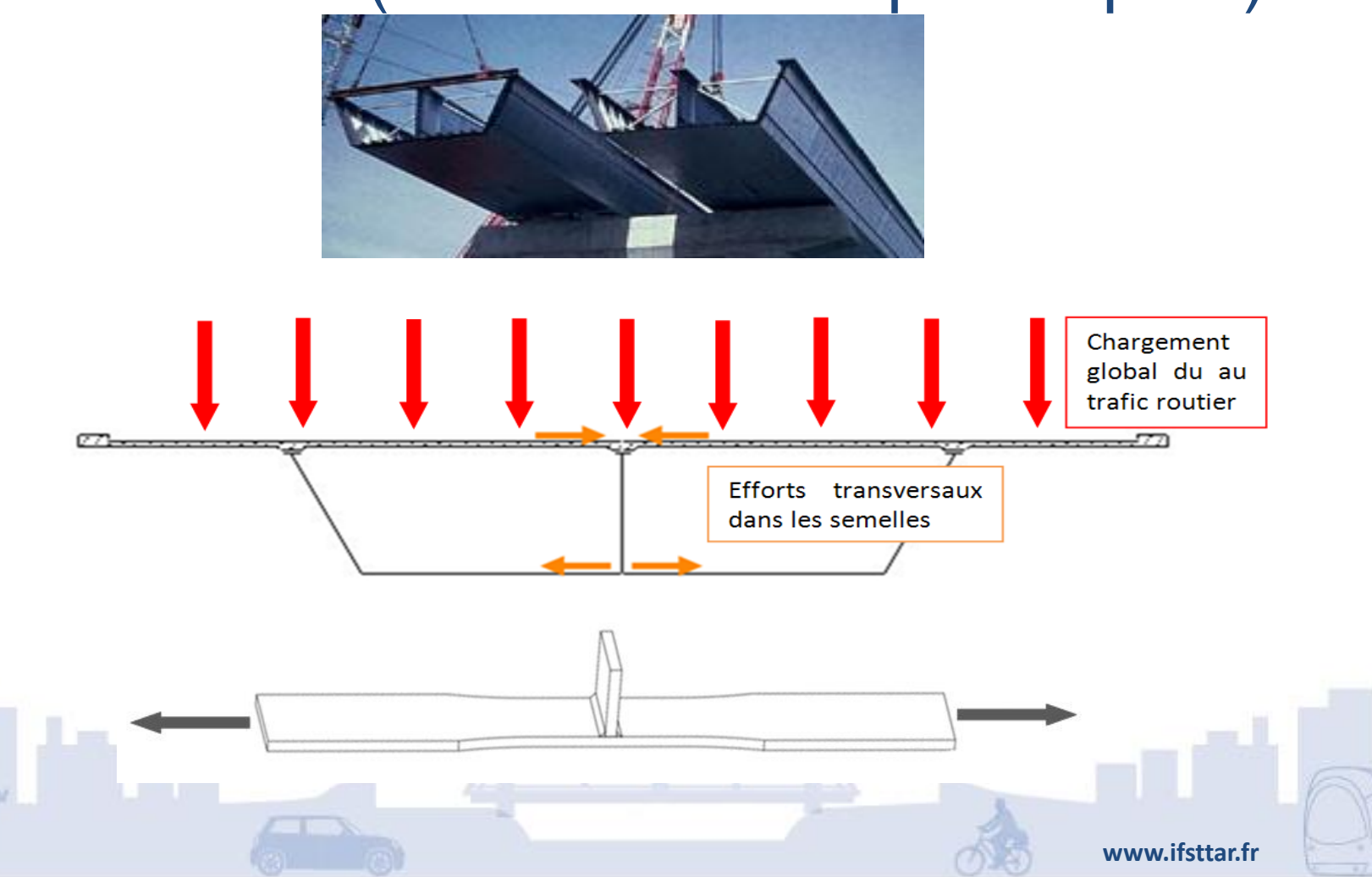
- Essais de fatigue
- Suivi de la fissuration
- Modèles de fatigue et de fissuration adaptée pour les structures soudées.



1

# Quantification expérimentale et numérique des contraintes résiduelles induites par le soudage:

Cas étudié (caisson métallique de pont):



1

# Quantification expérimentale et numérique des contraintes résiduelles induites par le soudage:

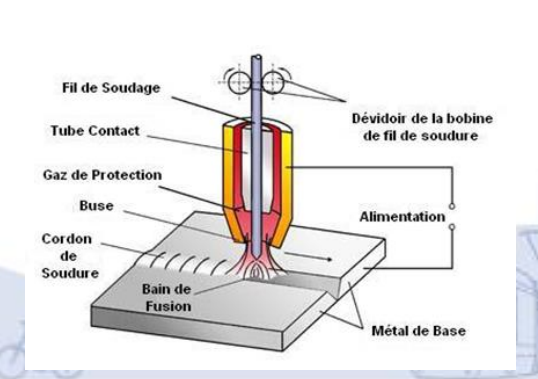
### Détail des éprouvettes:

- Assemblages soudés en « T »
- Nuance d'acier S355
- Dimensions:
  - 900 x 120 (100) x 15 mm pour la tôle
  - 100 x 120 (100) x 15 mm pour le renfort
- Soudure par procédé MAG (Metal Active Gas)

### Conséquence de la soudure:

• Création de contraintes résiduelles autour du cordon de soudure.



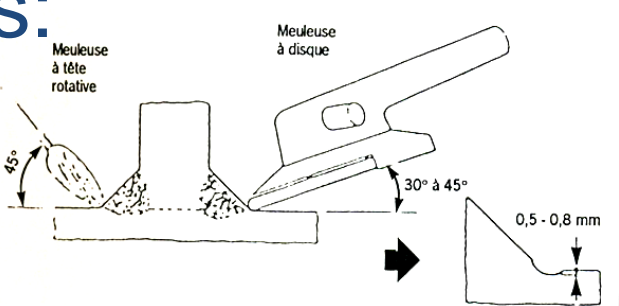


1

# Quantification expérimentale et numérique des contraintes résiduelles induites par le soudage:

Mesure DRX sur 3 éprouvettes:

- Eprouvette N°1 vierge
- Eprouvette N°2 Meulée
- Eprouvette N°3 Grenaillée



www.ifsttar.fr

### 7 points de mesure par éprouvette:

- Point A1-centre
- Point A1-Intermédiaire
- Point A1-Bord
- Point B1-centre
- Point B1-Intermédiaire
- Point B1-Bord
- Point B1-Ref

3 profils ont été réalisés de chaque côté du renfort (côtés A et B) sur environ 1 mm de profondeur, et dans deux directions

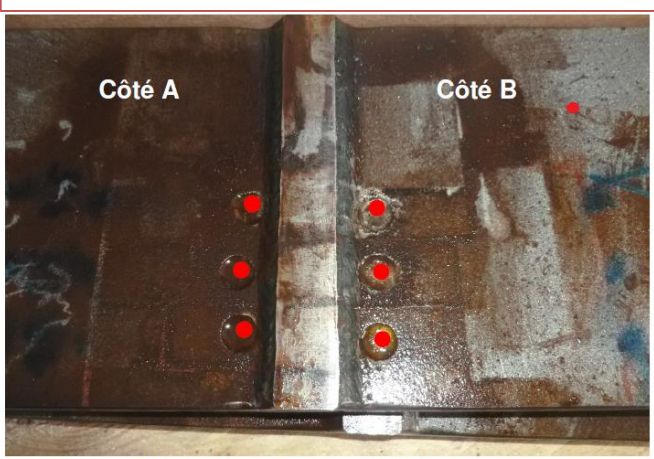
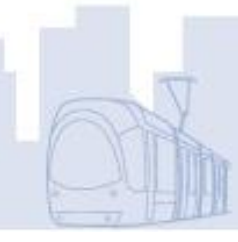
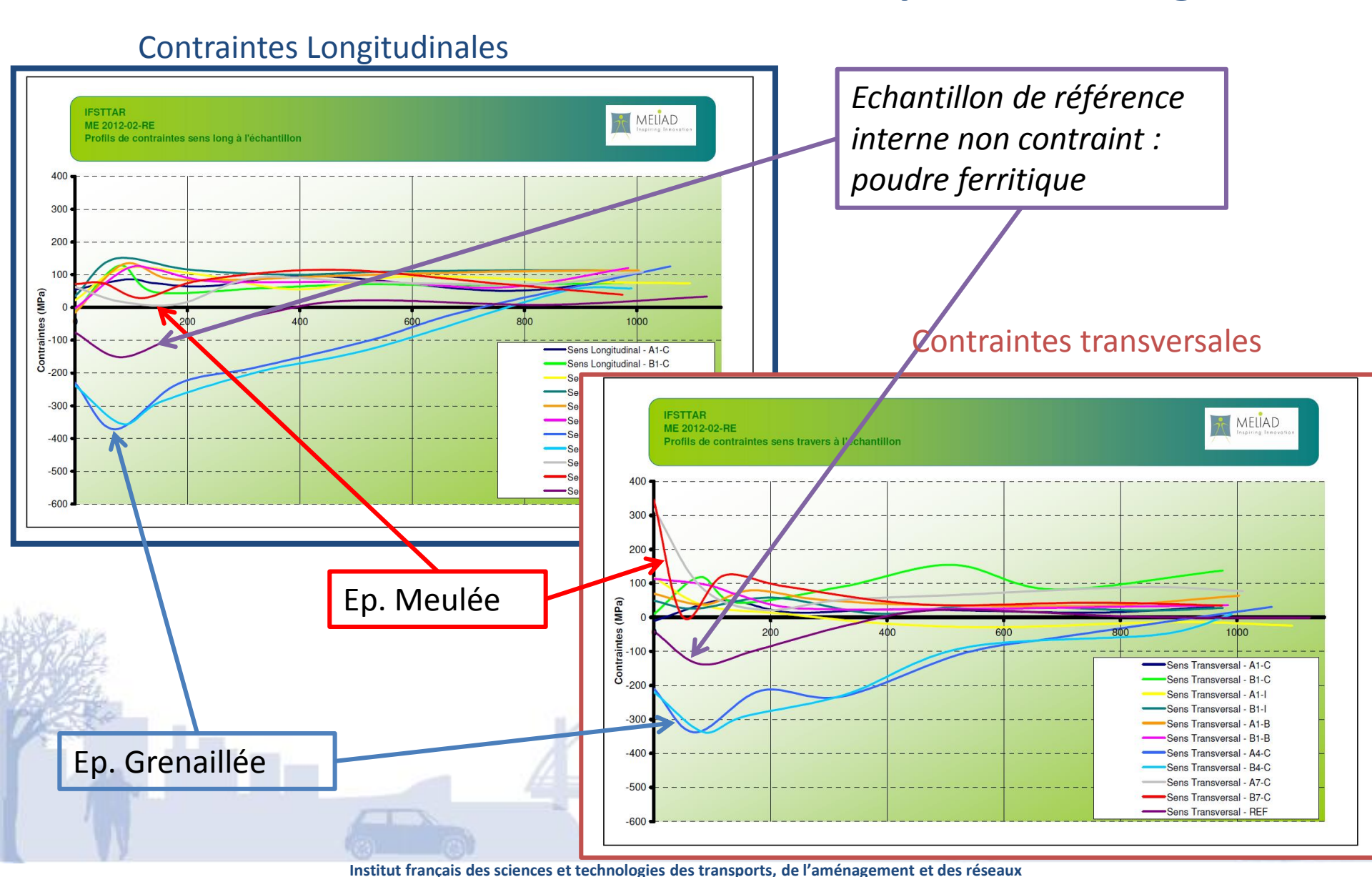


Photo N°1: Eprouvette N°1 vierge





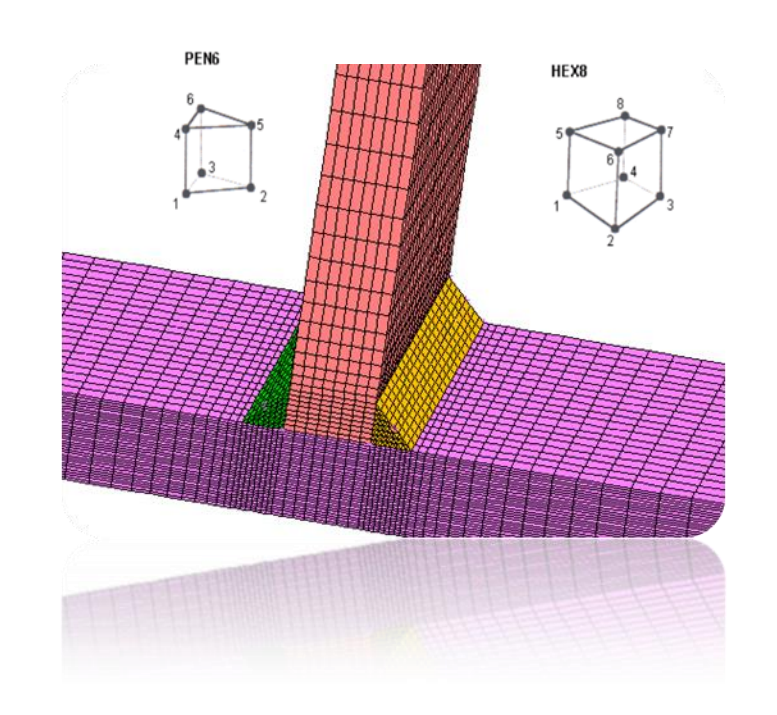


#### Géométrie

- Assemblage en T
- Eléments Hexa8 et Penta6

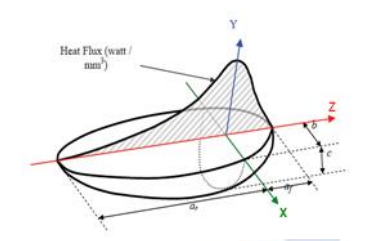
#### Matériau

- Acier à carbone 0,22% C22.
- Comportement thermo- mécanique  $(E, \alpha, Cp, K, ep, \epsilon)=f(T)$
- Loi de comportement élastoplastique



### Modélisation du soudage

- Température initiale homogène de l'assemblage: 30°C.
- Température de fusion de l'acier C22: 1538°C.
- Source de chaleur de soudage (modèle de Goldak-1984).







#### Modélisation du soudage : Source de chaleur

La forme de la source de chaleur peut être définie par une surface circulaire ou par un volume double ellipsoïdal.

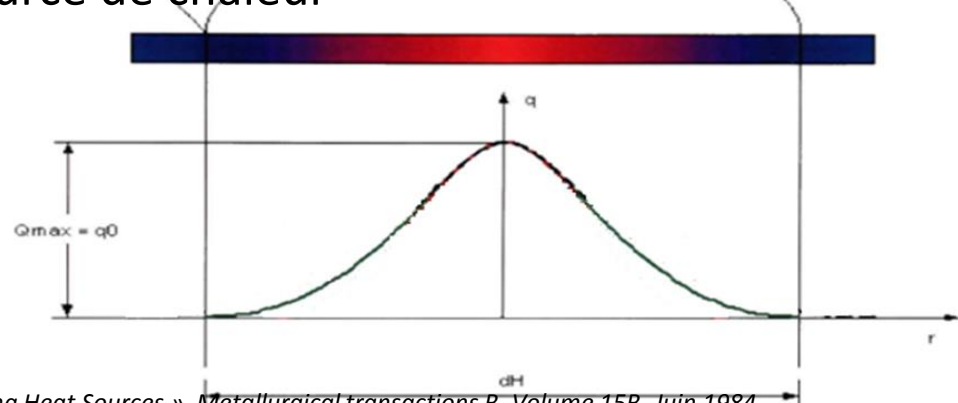
Pavelic a suggéré une distribution gaussienne du flux sur une surface circulaire.

Le disque de Pavelic, combiné à l'analyse par éléments finis, donne une bonne distribution de la température dans la zone de fusion.  $Q(r) = Q_0 e^{-cr^2}$ 

Q(r) flux surfacique

Q0 flux maximal

r distance radiale du centre de la source de chaleur



J. Goldak, A. Chakravarti, M. Bibby, « A new Finite Element Model for Welding Heat Sources », Metallurgical transactions B, Volume 15B, Juin 1984.



#### Modélisation du soudage : Source de chaleur

Une alternative a été proposée par Friedman (1975) puis par Krutz et Segerlind (1978) → Un modèle tridimensionnel à double ellipsoïdal.

Il consiste à exprimer le disque de Pavelic en fonction d'un système de coordonnées qui bouge avec la source.

Une coordonnée locale  $\xi$  est introduite et l'équation du disque dans le système de coordonnées local devient (J. GOLDAK, 1984) :

$$q(x,\xi) = \frac{3Q}{\pi c^2} e^{-3x^2/c} e^{-3\xi^2/c}$$

q: la vitesse du flux de chaleur par unité d'air,

Q=ηVI: la puissance appliquée avec η l'efficacité, V la tension et I l'intensité;

c: le rayon caractéristique de la distribution du flux de chaleur.

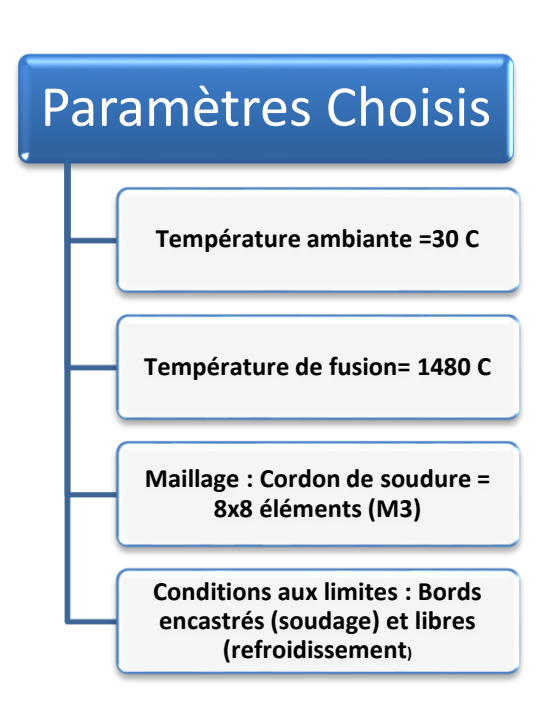
 $\xi$ : la coordonnée locale le long de la trajectoire de soudure.

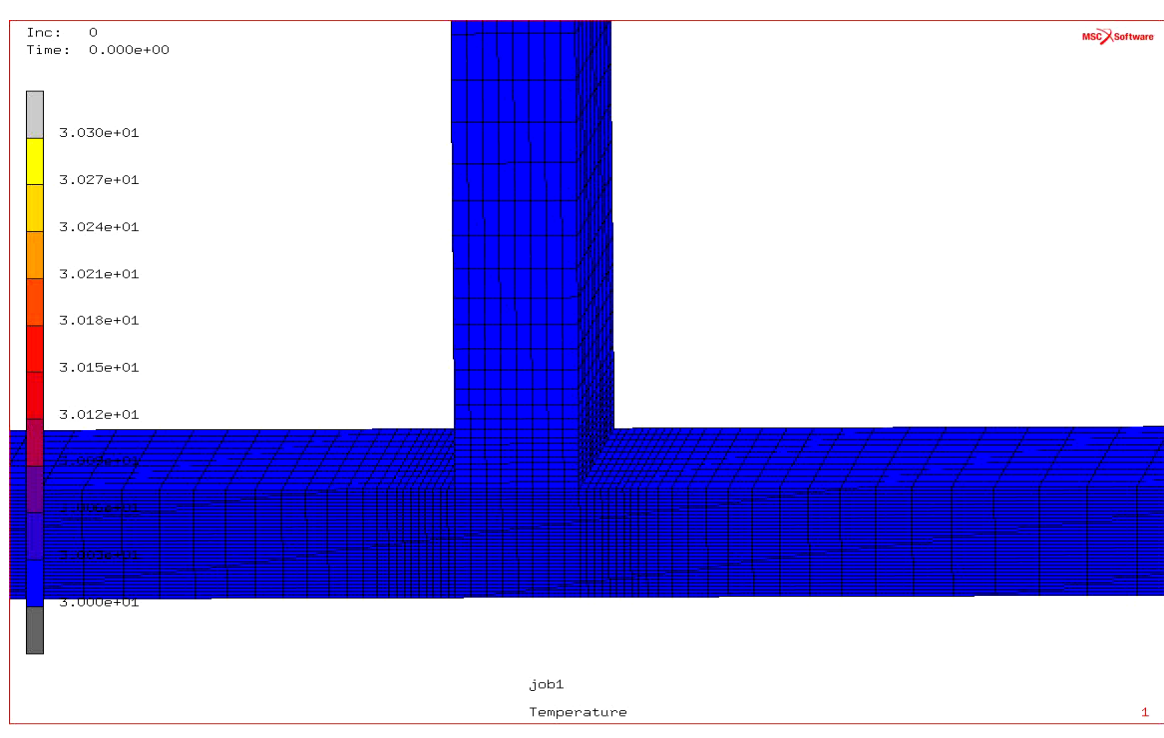
x : la coordonnée locale tangente à la trajectoire de soudure.

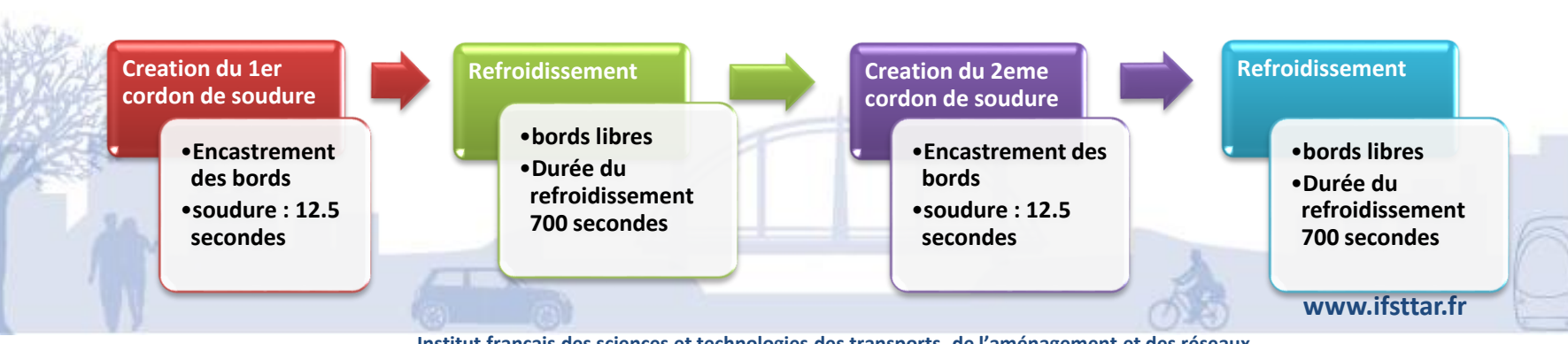


Institut français des sciences et technologies des transports, de l'aménagement et des réseaux

#### **Modélisation du soudage : Paramètres**

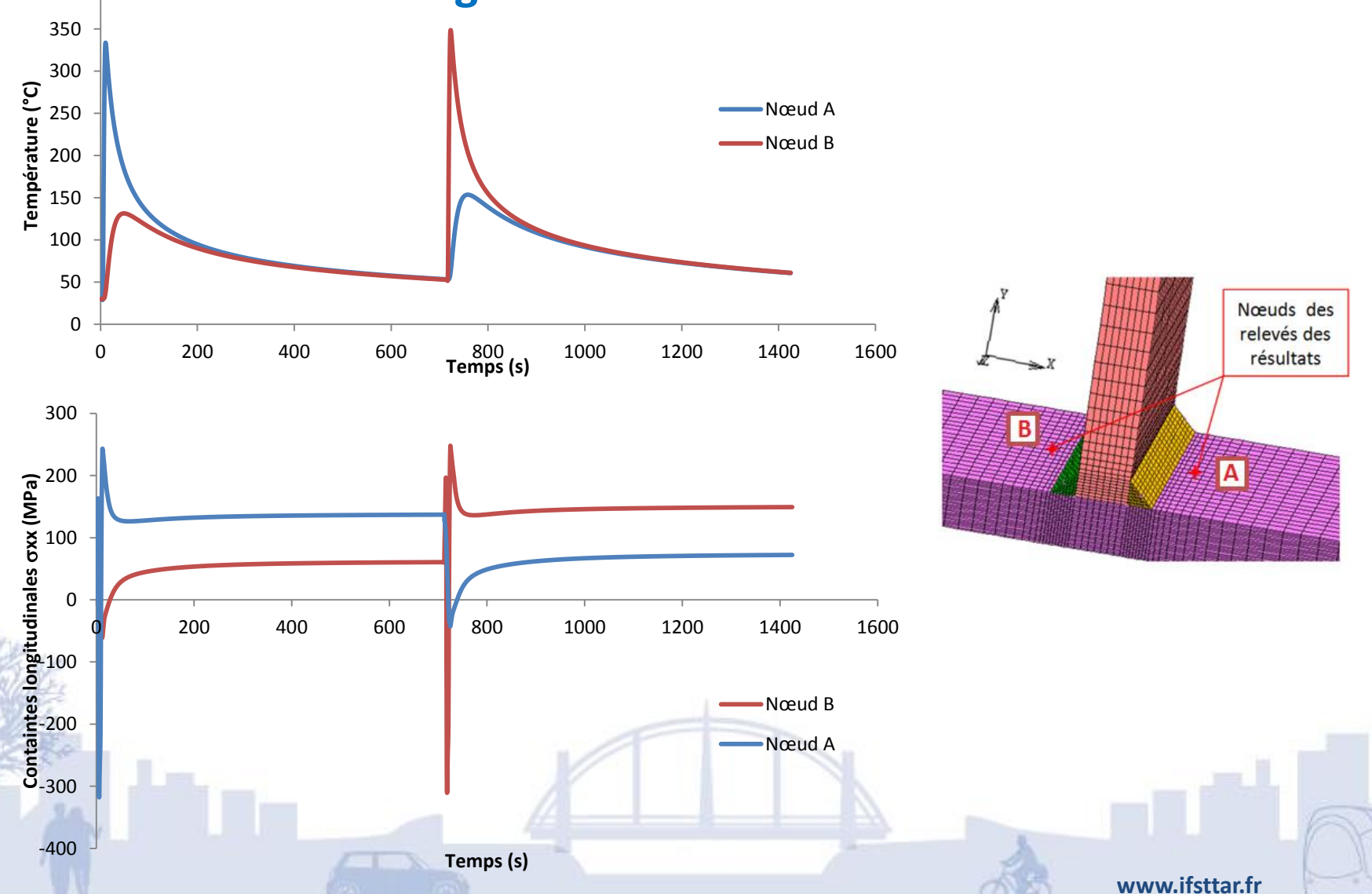






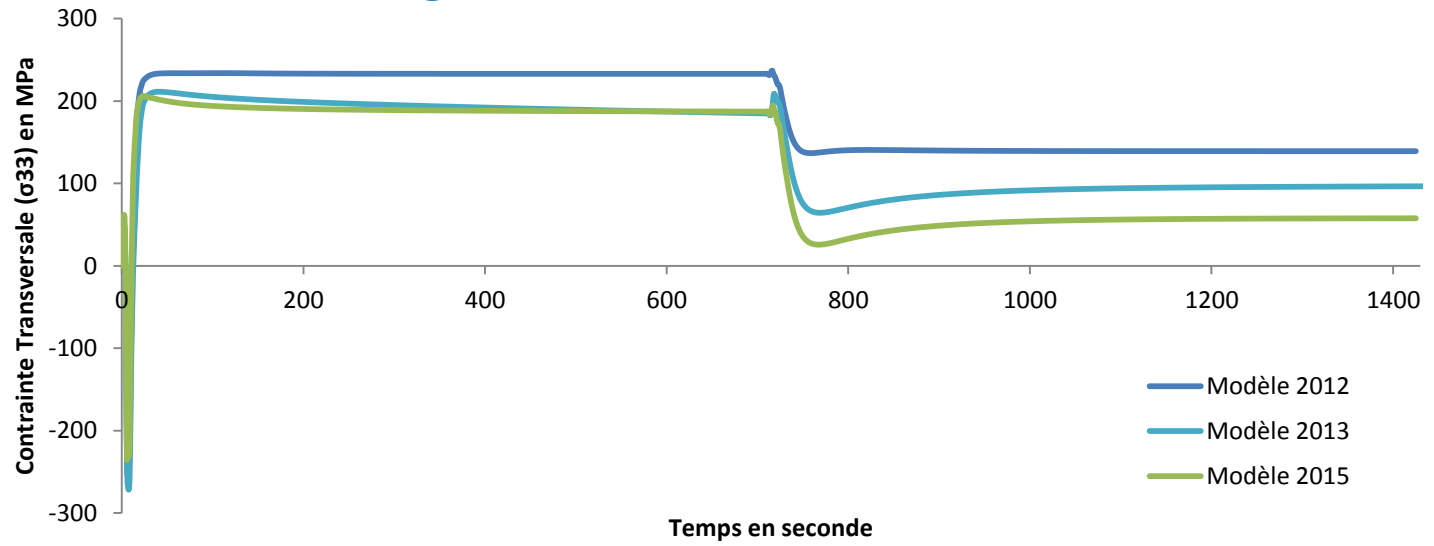


Modélisation du soudage : Résultats





#### Modélisation du soudage : Résultats

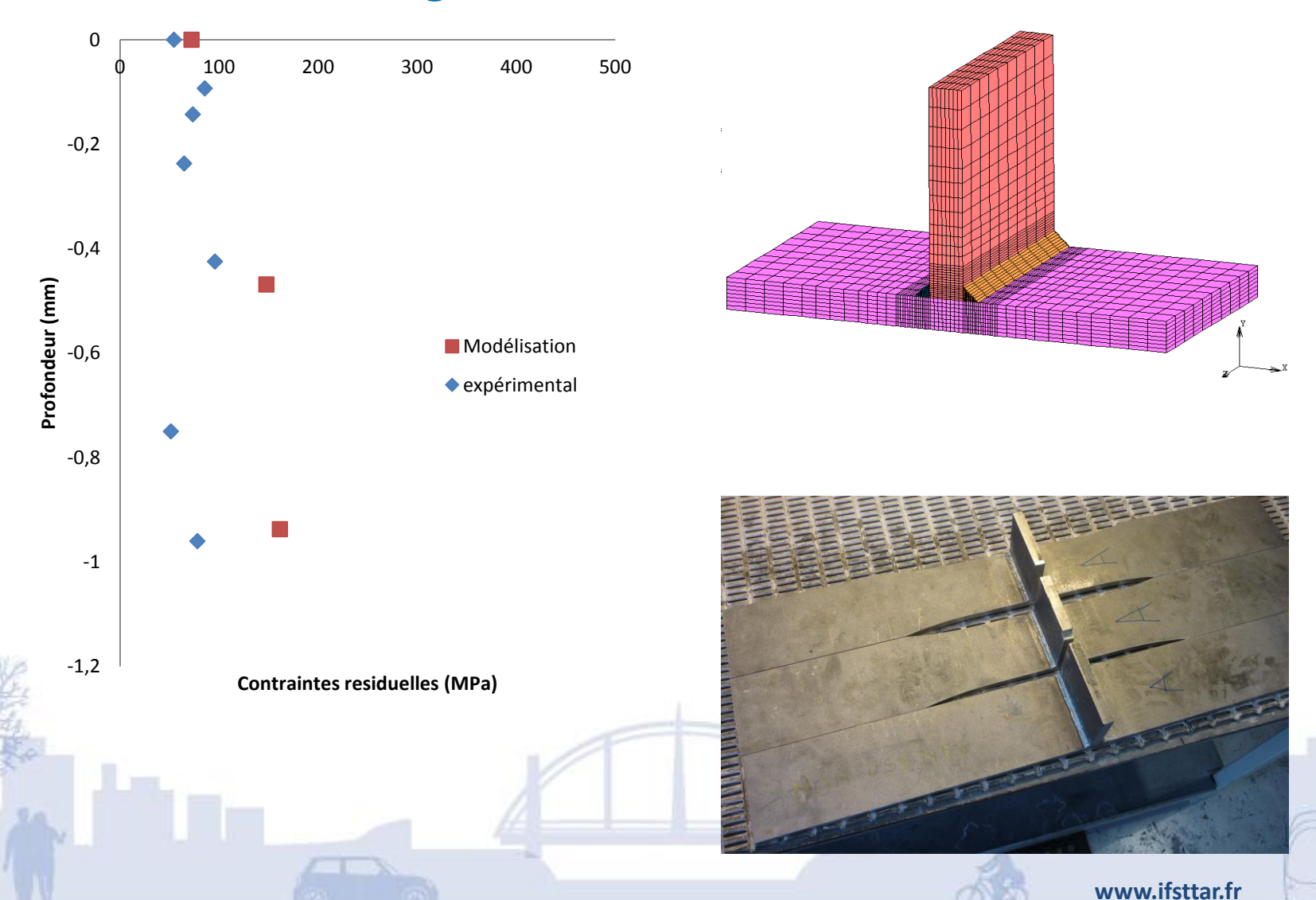


	Modèle 2012	Modèle 2013	Modèle 2015
Température de fusion	1200°C	1538°C	1480°C
Température ambiante	20°C	30°C	30°C
Echange thermique	Convection	Convection + rayonnement	Convection + rayonnement
Conditions aux limites	Bords encastrés	Bords encastrés	Bords encastrés pendant le soudage et libres pendant le refroidissement





#### Modélisation du soudage : Résultats



# Structures métalliques : Plan

- 1. Quantification expérimentale et numérique des contraintes résiduelles induites par le soudage:
  - Choix des types éprouvette et la technique de soudage.
  - Mesure par DRX des contraintes résiduelles de surface.
  - Modélisation EF du soudage.
  - Évaluation des contraintes résiduelles après refroidissement.

#### 2. Parachèvement de la soudure:

- Choix de la technique de parachèvement (meulage, grenaillage).
- Mise en œuvre expérimentale de ces techniques de parachèvement.
- Modélisation numérique du parachèvement.

#### 3. Evaluation de la durabilité en terme de fatigue:

- Essais de fatigue
- Suivi de la fissuration
- Modèles de fatigue et de fissuration adaptée pour les structures soudées.



#### **Grenaillage: Définition**



La soudure se retracte pendant le refroidissement

Métal de base moins chaud s'oppose à cettre retraction

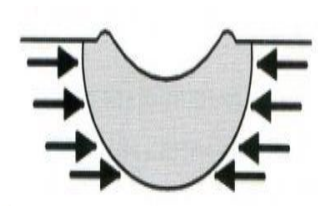
**Contraintes** Résiduelles dommageables

**Traitements Par** Parachèvement

**Amélioration** du comportement en FATIGUE

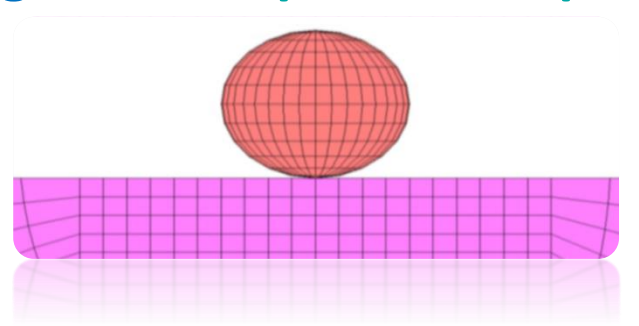


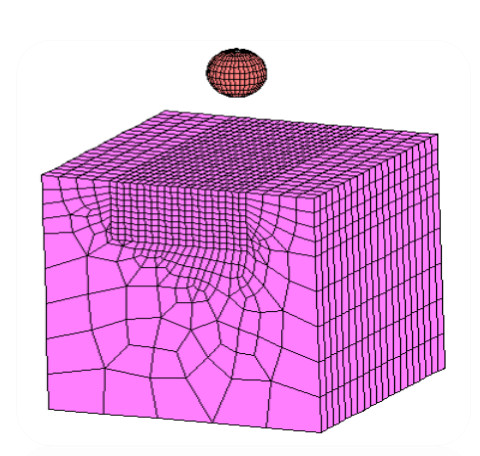


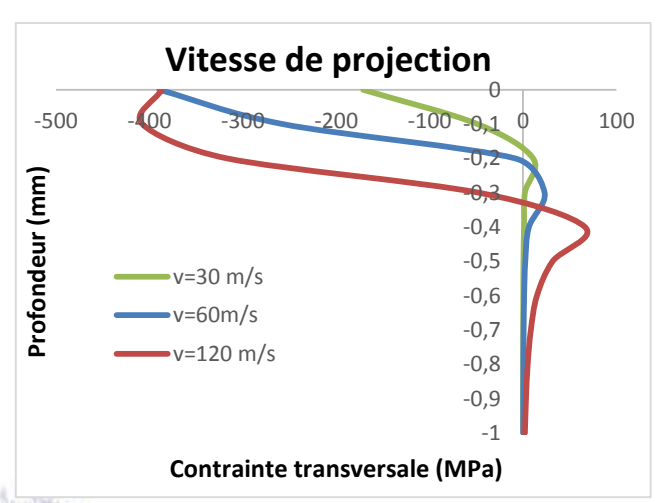


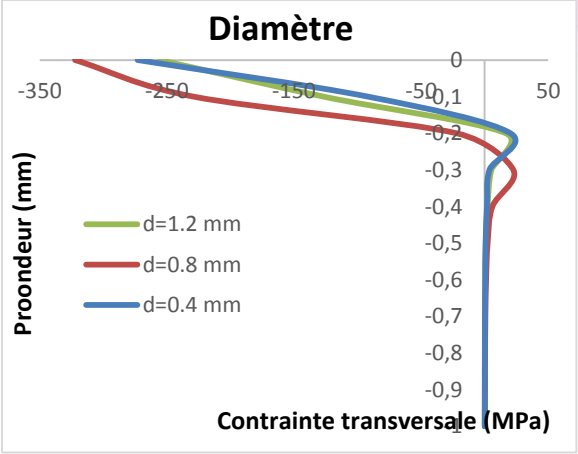
www.ifsttar.fr

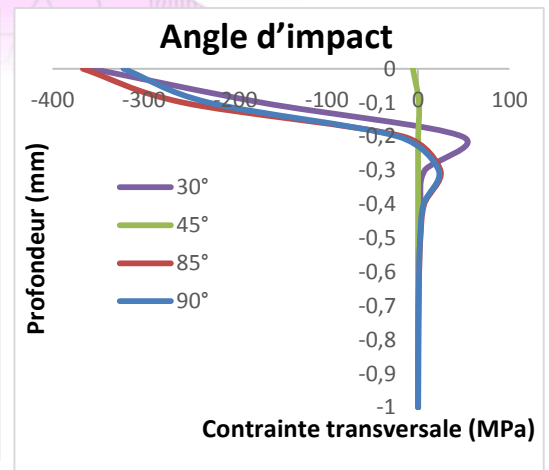
#### **Grenaillage: Etude paramétrique**











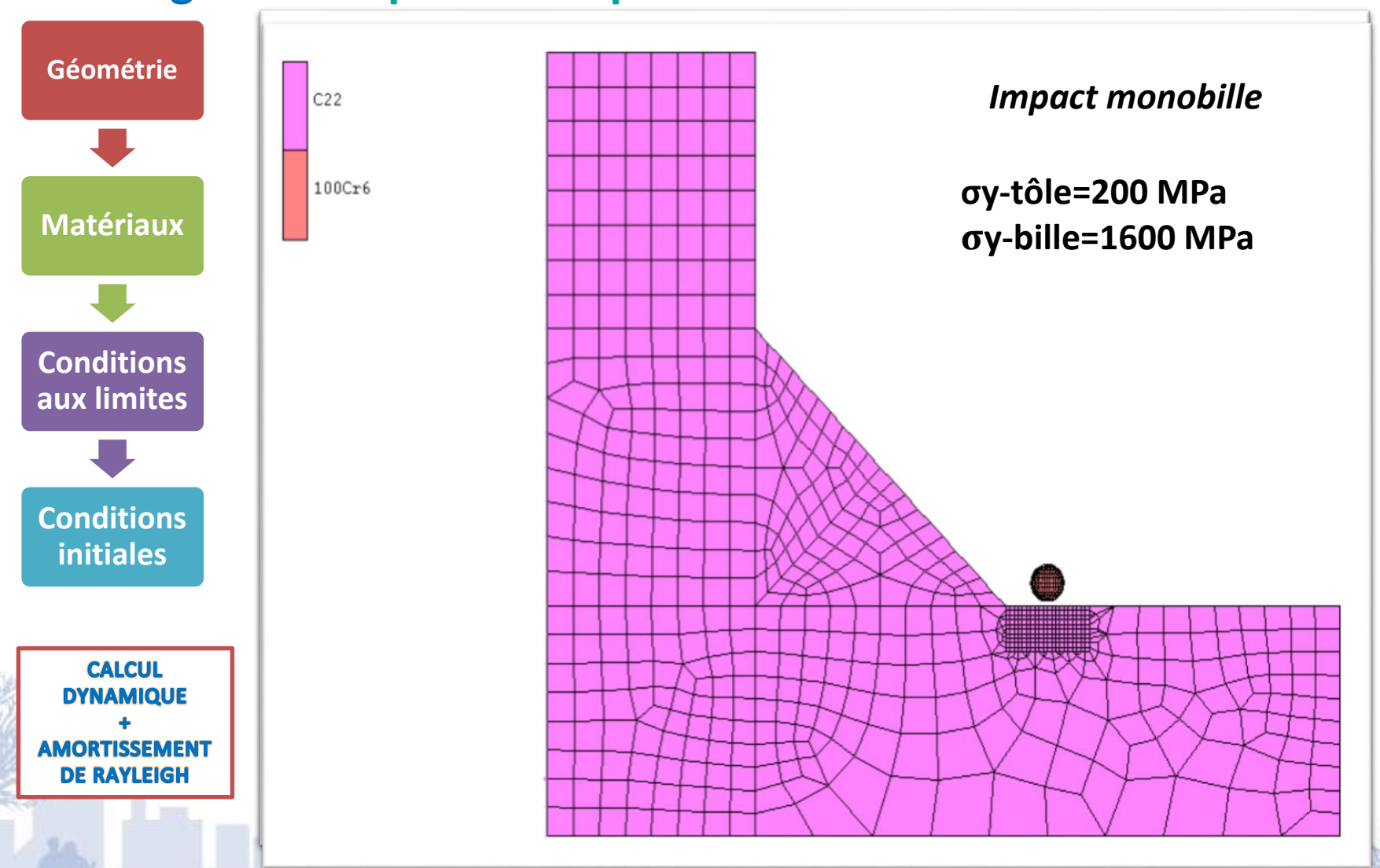


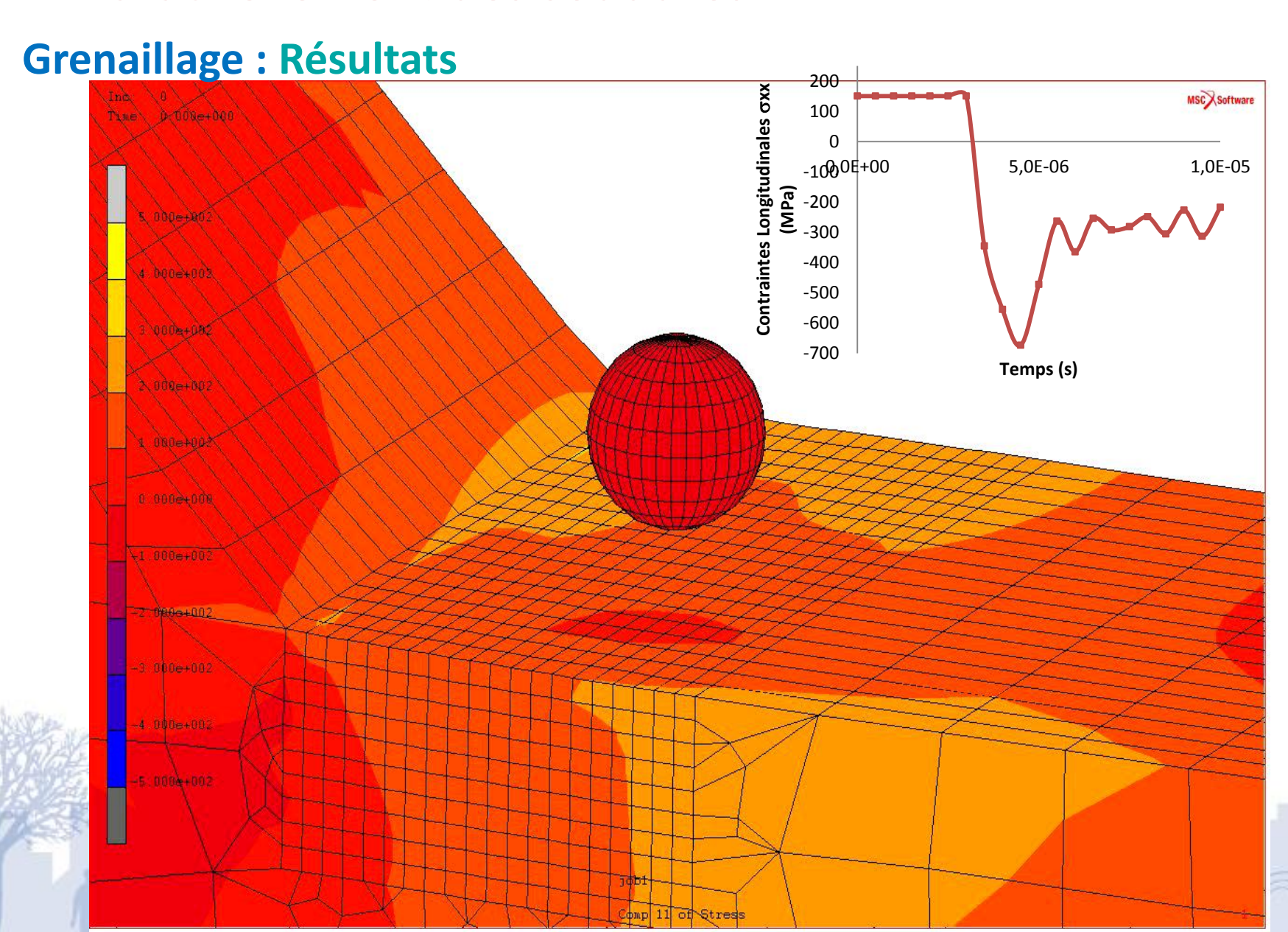
#### Paramètres de la bille

- •Vitesse = 60 m/s
- •Diamètre = 0.8 mm
- Angle d'impact = 90°

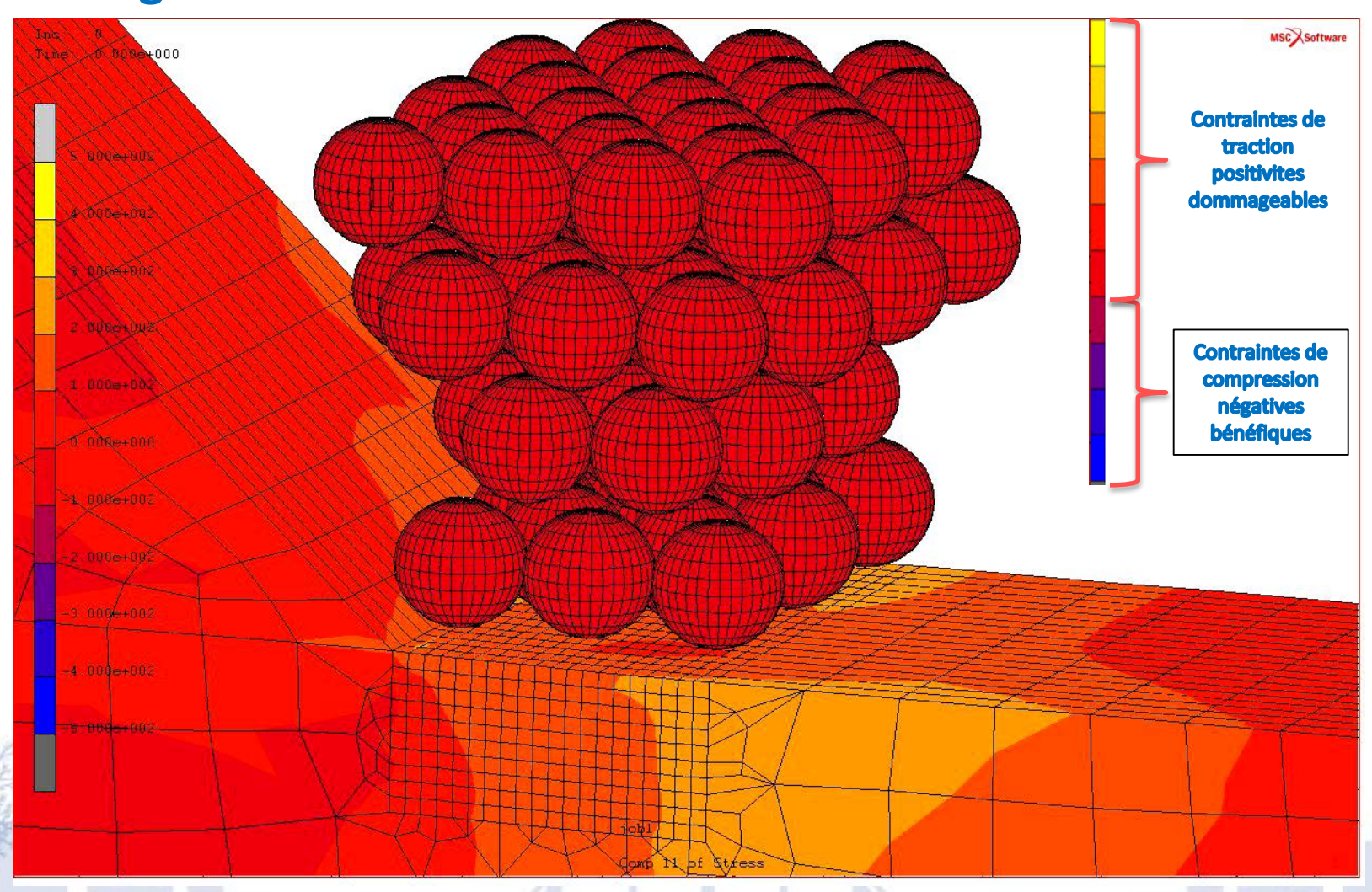
www.ifsttar.fr

**Grenaillage: Etude paramétrique** 

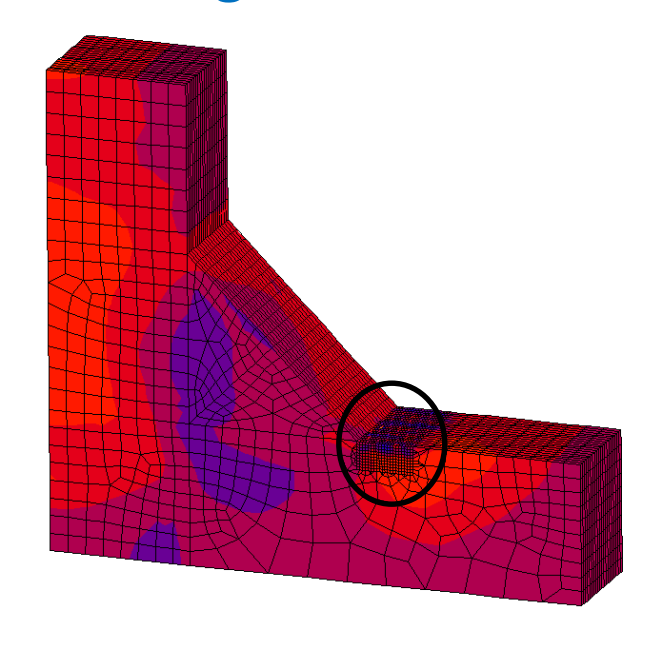


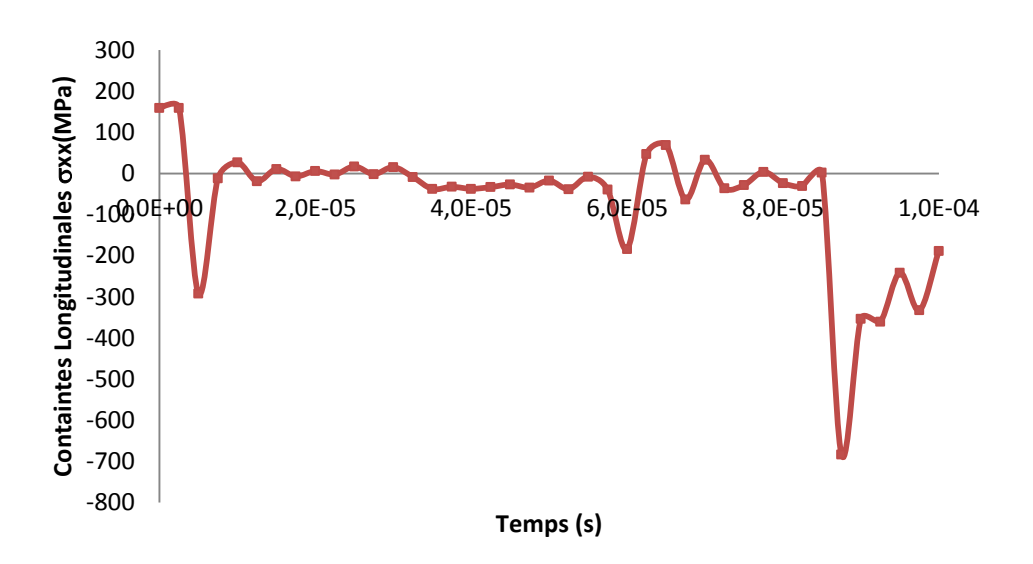


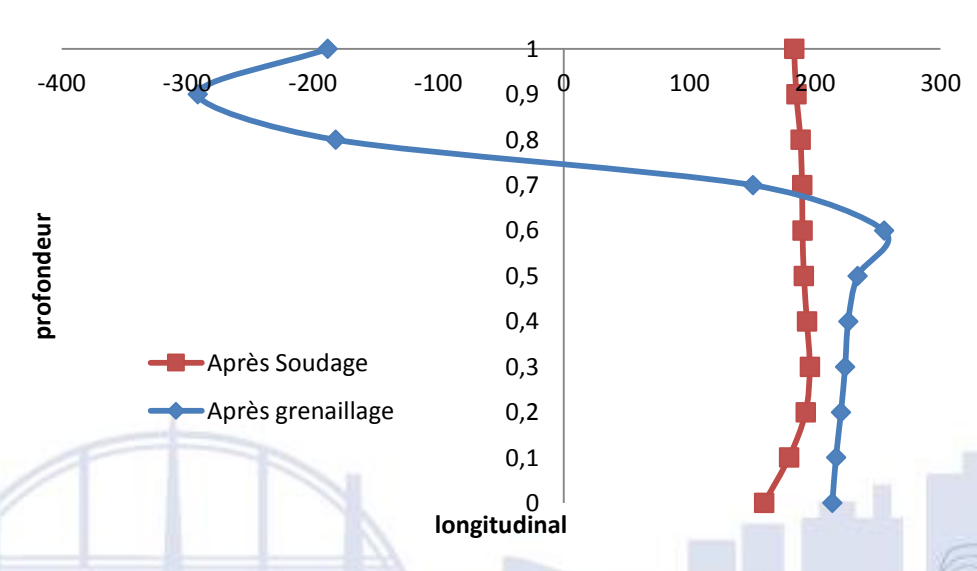
#### **Grenaillage: Résultats**

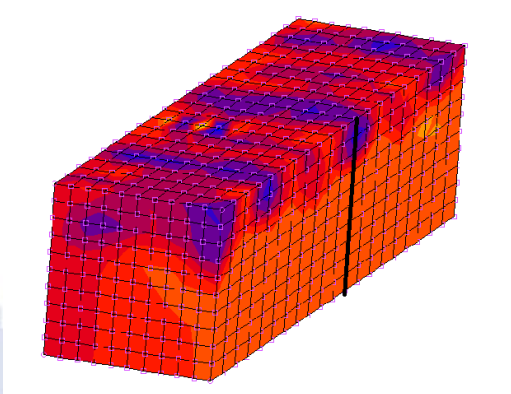


#### **Grenaillage: Résultats**









**Impact multibilles** 

www.ifsttar.fr

# Structures métalliques : Plan

- 1. Quantification expérimentale et numérique des contraintes résiduelles induites par le soudage:
  - Choix des types éprouvette et la technique de soudage.
  - Mesure par DRX des contraintes résiduelles de surface.
  - Modélisation EF du soudage.
  - Évaluation des contraintes résiduelles après refroidissement.

#### 2. Parachèvement de la soudure:

- Choix de la technique de parachèvement (meulage, grenaillage).
- Mise en œuvre expérimentale de ces techniques de parachèvement.
- Modélisation numérique du parachèvement.

#### 3. Evaluation de la durabilité en terme de fatigue:

- Essais de fatigue
- Suivi de la fissuration
- Modèles de fatigue et de fissuration adaptée pour les structures soudées.

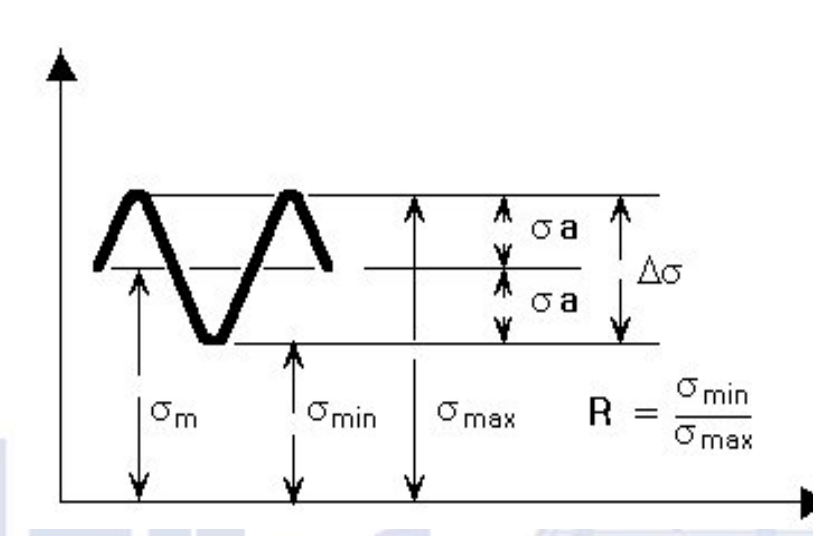
www.ifsttar.fr



### Evaluation de la durabilité en terme de fatigue

#### Sollicitation en Fatigue

- Force moyenne: 137.5 kN
- Amplitude de la force: 112.5 kN
- Forme d'onde sinusoïdale
- Rapport de contraintes: R = 0,1

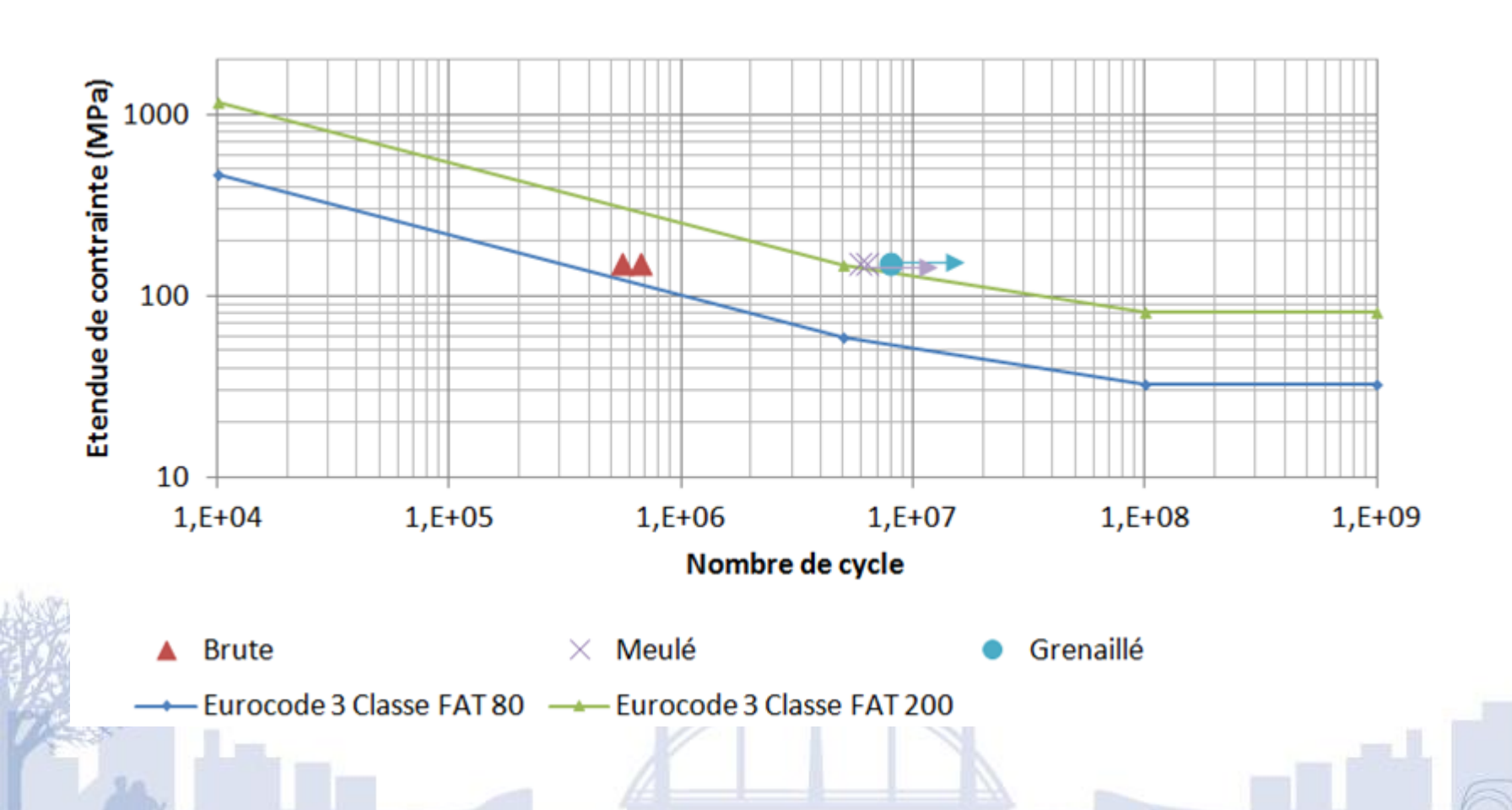






### Evaluation de la durabilité en terme de fatigue

#### Sollicitation en Fatigue : Courbe d'endurance R=0,1:



#### **CONCLUSIONS ET PERSPECTIVES**

### **Conclusions:**

- La modélisation de la soudure est améliorée par rapport aux modèles précédents
- Détermination des valeurs de contraintes résiduelles très proches de valeurs expérimentales.
- La modélisation du grenaillage a donné des résultats satisfaisants sur le modèle réduit

#### En cours:

- Modélisation du grenaillage sur le modèle échelle 1
- Estimation de la duré de vie de la structure vis-à-vis la fatigue
- Poursuite des campagnes d'essais pour différentes valeurs de variation de contrainte et de rapport de charge R.

### Merci de votre attention

#### **Ifsttar**

14-20 Bld. Newton

Cité Descartes

Champs sur Marne

77447 Marne-la-Vallée Cedex 2

France

Tél. +33 (0)1 81 66 80 00

www.ifsttar.fr

communication@ifsttar.fr

#### **Lamine Dieng**

Chercheur - HDR

**Directeur Adjoint** 

Laboratoire Structures Métalliques et à Câbles

Département Matériaux et Structures de l'Ifsttar

Tél. +33 (0)2 40 84 56 06

Lamine.dieng@ifsttar.fr

